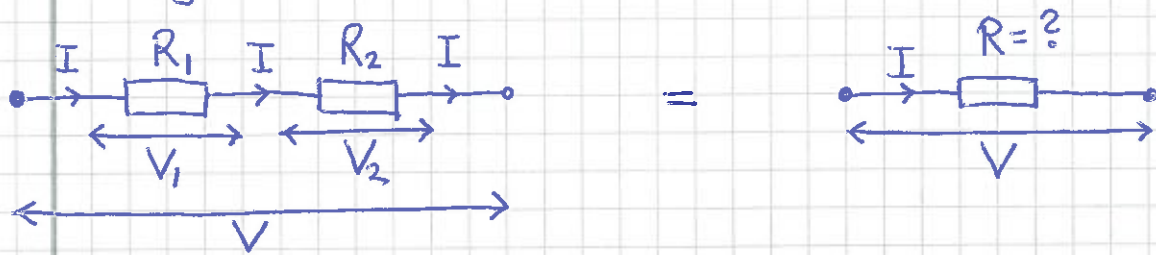


Kobling av flere motstander [YF 26.1; LHL 21.3]

Seriekobling:



Lik strøm I gjennom de to motstandene

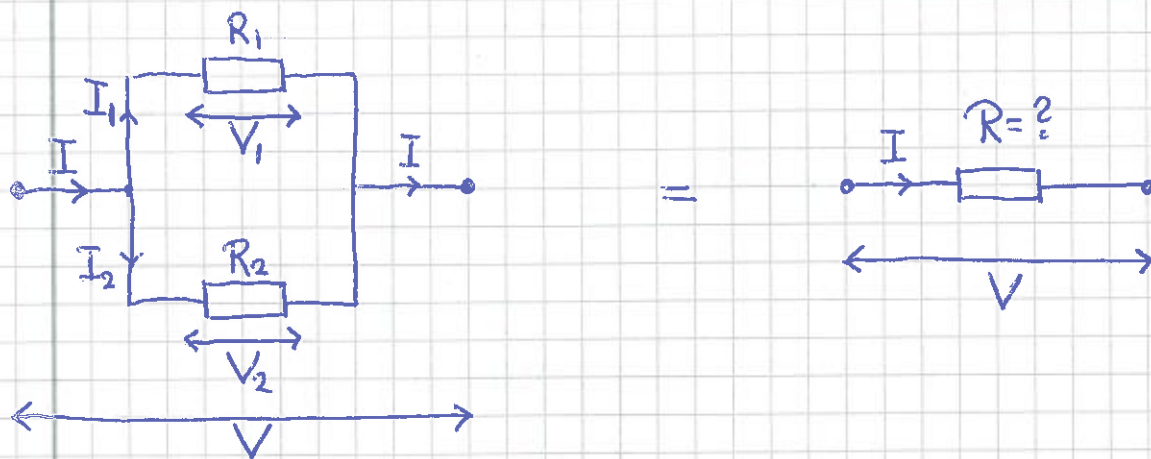
$$\Rightarrow V = V_1 + V_2 = R_1 I + R_2 I = R I$$

$$\Rightarrow \boxed{R = R_1 + R_2}$$

Med N stk. i serie:

$$\boxed{R = \sum_{j=1}^N R_j}$$

Parallellkobling:



Lik spenning over de to motstandene; $V_1 = V_2 = V$

$$\Rightarrow I = I_1 + I_2 = \frac{V}{R_1} + \frac{V}{R_2} = \frac{V}{R}$$

$$\Rightarrow \boxed{\frac{1}{R} = \frac{1}{R_1} + \frac{1}{R_2}}$$

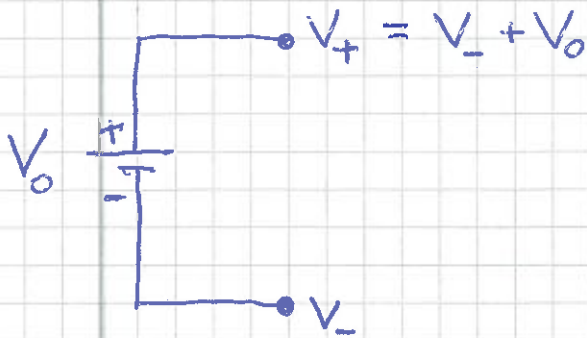
Med N stk i parallell:

$$\boxed{\frac{1}{R} = \sum_{j=1}^N \frac{1}{R_j}}$$

Likestrømkretser [YF 26 (25); LHL 22]

DC = direct current = likestrøm

Likespenningskilde:



Sørger for konstant spenning (= potensialforskjell)

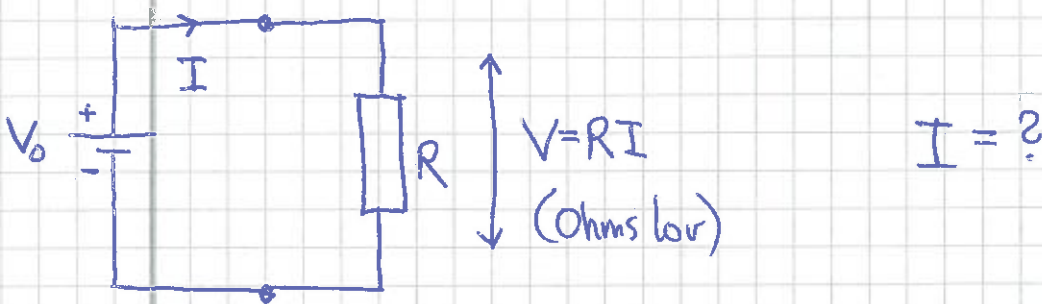
$$V_0 = V_+ - V_-$$

mellom polene

Eks: Kjemisk batteri, Solcelle, ...

Kobler til (f.eks.) motstand R

⇒ får lukket krets, og strøm:



Kirchhoffs regler [YF 26.2; LHL 22.3]

Pga ledningsbevarelse:

$\sum_j I_j = 0$ i alle knutepunkt	("K1")
------------------------------------	--------

Pga energibevarelse:

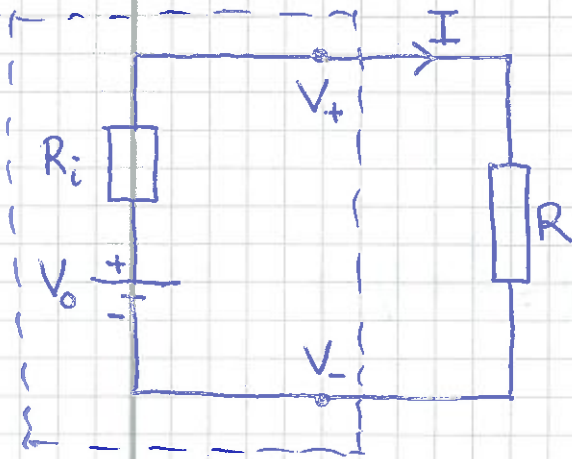
\sum potensialendringer = 0 for alle sløyfer	("K2")
---	--------

Dermed (pga K2): $V_0 - RI = 0$

(94)

$$\Rightarrow \underline{I = V_0/R}$$

Reell spenningskilde har en viss indre motstand R_i :



$$K2 \Rightarrow V_0 - R_i I - RI = 0$$

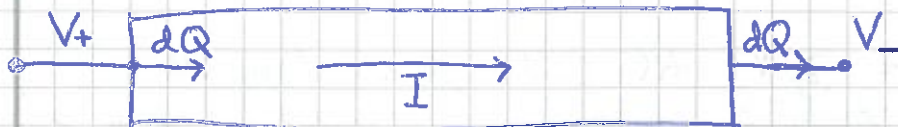
$$\Rightarrow \underline{I = \frac{V_0}{R_i + R}}$$

og spenningen "levert" til den "ytre kretsen" (R) er

$$V_+ - V_- = V_0 - R_i I < V_0 \text{ n\u00e5r } I > 0$$

Elektrisk effekt [YF 25.5; LHL 22.2]

$$\longleftarrow V = V_+ - V_- \longrightarrow$$



$$dU_{inn} = V_+ \cdot dQ$$

$$dU_{ut} = V_- \cdot dQ$$

Effekttap (dvs el. energi "tapes" som varmeenergi):

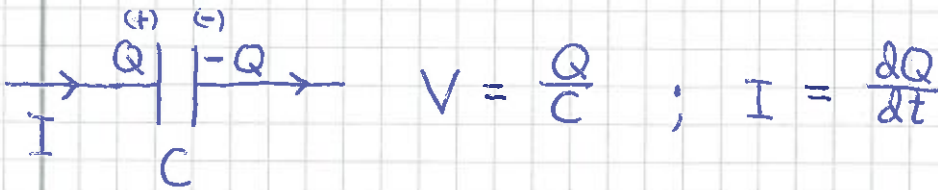
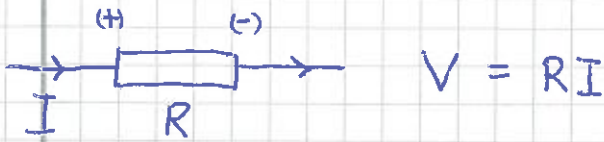
$$P = \frac{dU}{dt} = \frac{dU_{inn} - dU_{ut}}{dt} = \frac{V_+ dQ - V_- dQ}{dt} = V \cdot \frac{dQ}{dt} = \underline{V \cdot I}$$

Hvis det er en ohmsk motstand, er $V = R \cdot I$, slik at

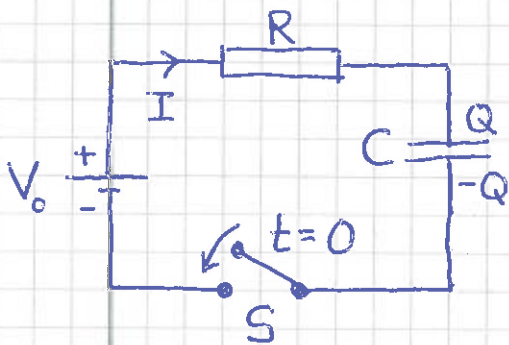
$$P = V \cdot I = RI^2 = \frac{V^2}{R}$$

RC-krets [YF 26.4; LHL 22.4]

(95)



Opplading av kondensator i RC-krets:



- $Q(0) = 0$
- Lukker kretsen ved $t=0$
(S = "switch"; bryter)
- Bestem $Q(t)$ og $I(t)$

$$\text{K2: } V_0 - RI - \frac{Q}{C} = 0$$

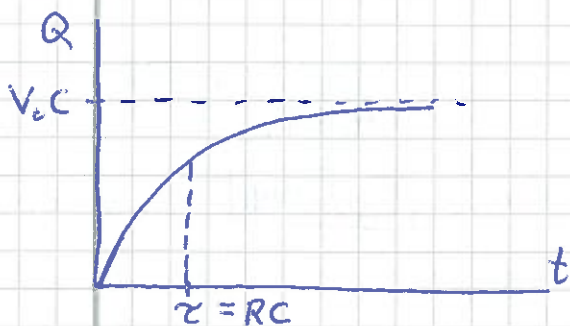
$$\Rightarrow -R \frac{dQ}{dt} = \frac{Q}{C} - V_0 = \frac{Q - V_0 C}{C}$$

$$\Rightarrow \int_0^Q \frac{dQ}{Q - V_0 C} = - \int_0^t \frac{dt}{RC}$$

$$\Rightarrow \ln \left(\frac{Q - V_0 C}{-V_0 C} \right) = - \frac{t}{RC}$$

$$\Rightarrow \underline{Q(t) = V_0 C (1 - e^{-t/RC})}$$

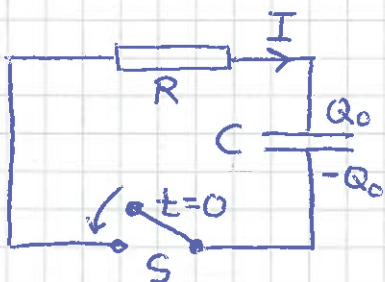
$$\Rightarrow \underline{I(t) = \dot{Q}(t) = \frac{V_0}{R} e^{-t/RC}}$$



RC-kretsens tidskonstant: $\tau = RC =$ karakteristisk tid for oplading (og utlading) av kondensator i en RC-krets

$$Q(\tau) = V_0 C (1 - 1/e) \approx 0.63 V_0 C, \quad Q(3\tau) = V_0 C (1 - 1/e^3) \approx 0.95 V_0 C$$

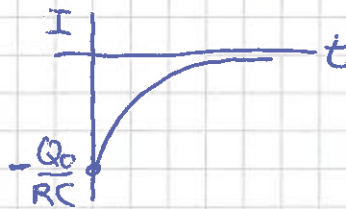
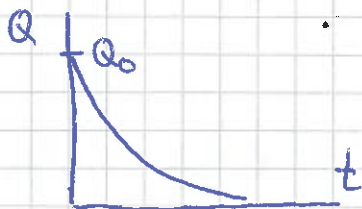
Utlading:



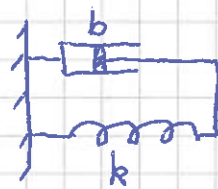
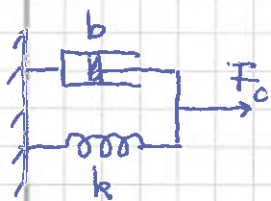
- $Q(0) = Q_0$
- Bestem $Q(t)$ og $I(t)$

$$K2: -\frac{Q}{C} - R \frac{dQ}{dt} = 0 \Rightarrow \int_{Q_0}^Q \frac{dQ}{Q} = - \int_0^t \frac{dt}{RC}$$

$$\Rightarrow Q(t) = Q_0 e^{-t/RC}, \quad I(t) = -\frac{Q_0}{RC} e^{-t/RC}$$



Mekanisk analogi:



F_0 skrus av
 $x(0) = x_0$

$$F_0 - b\dot{x} - kx = m\ddot{x} \xrightarrow{m \rightarrow 0} 0$$

$$\Rightarrow x(t) = \frac{F_0}{k} (1 - e^{-kt/b})$$

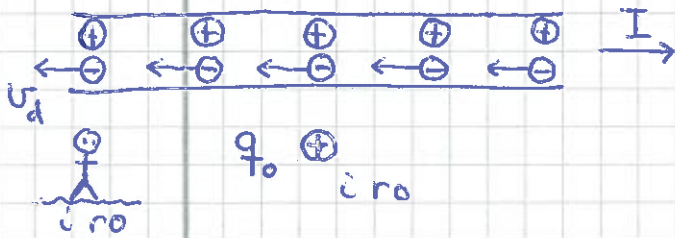
$$-kx - b\dot{x} = 0$$

$$\Rightarrow x(t) = x_0 e^{-kt/b}$$

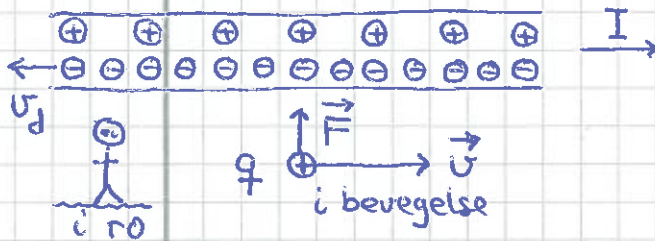
Magnetostatikk [YF 27, 28 ; LHL 23]

97

Coulombs lov og Einsteins relativitetsteori nødvendiggjør magnetfelt og magnetisk kraft:



q_0 i ro ser nøytral strømførende leder
 $\Rightarrow F = 0$; og vi er enige



Ladning q i bevegelse ser negativt ladet strømførende leder, fordi elektronene \ominus har større relativ hastighet ($u_- \approx v + v_d$) enn atomkjernene \oplus ($u_+ = v$).

Dermed er det størst lengdereduksjon for avstanden mellom \ominus :

$$\Delta x_- = \Delta x_0 \sqrt{1 - \frac{u_-^2}{c^2}} < \Delta x_+ = \Delta x_0 \sqrt{1 - \frac{u_+^2}{c^2}}$$

Konklusjon: q påvirkes av en elektrisk kraft \vec{F}

Motsatt rettet $\vec{v} \Rightarrow u_- \approx v - v_d < u_+ = v$

$\Rightarrow \Delta x_- > \Delta x_+ \Rightarrow$ positivt ladet leder

\Rightarrow motsatt rettet \vec{F}

Vi er i ro relativt den strømførende lederen og måler ingen elektrisk kraft på q . Vi måler en magnetisk kraft \vec{F}_m . Denne uttrykkes via et magnetfelt \vec{B} . Magnetfeltet \vec{B} skapes av strømmen I .

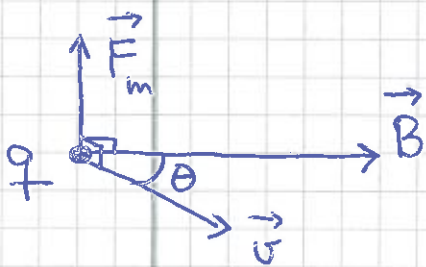
Magnetisk kraft [YF 27.2 ; LHL 23.4]

Ladning(er) omgir seg med elektrisk felt \vec{E}

\Rightarrow elektrisk kraft $\vec{F}_e = q\vec{E}$ på ladning q

Strøm omgir seg med magnetfelt \vec{B}

\Rightarrow magnetisk kraft $\vec{F}_m = q\vec{v} \times \vec{B}$ på ladning q
i bevegelse med hastighet \vec{v}



$$F_m = qvB \sin\theta$$

$$\vec{F}_m \perp \vec{B} \quad \text{og} \quad \vec{F}_m \perp \vec{v}$$

Enhet for magnetfelt:

$$[B] = \frac{\text{N}}{\text{C} \cdot \frac{\text{m}}{\text{s}}} = \frac{\text{N}}{\text{A} \cdot \text{m}} = \text{T (tesla)}$$

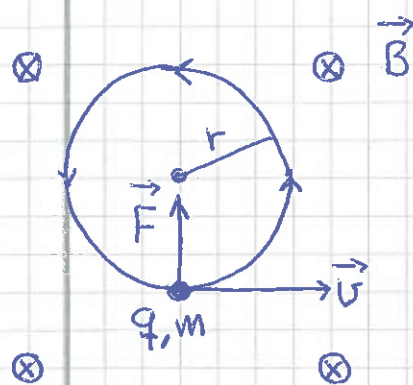
Med både \vec{E} og \vec{B} til stede:

$$\vec{F} = \vec{F}_e + \vec{F}_m = q\vec{E} + q\vec{v} \times \vec{B}$$

Lorentzkraften

Ladning i uniformt magnetfelt [YF 27.4; LHL 23.1+4]

(99)



⊗ inn i planet
⊙ ut av " "

Anta $\vec{v} \perp \vec{B}$

$\Rightarrow F = qvB$

$\vec{F} \perp \vec{v} \Rightarrow$ tilført effekt $P = \vec{F} \cdot \vec{v} = 0$

\Rightarrow kinetisk energi $K = \frac{1}{2}mv^2 = \text{konstant}$

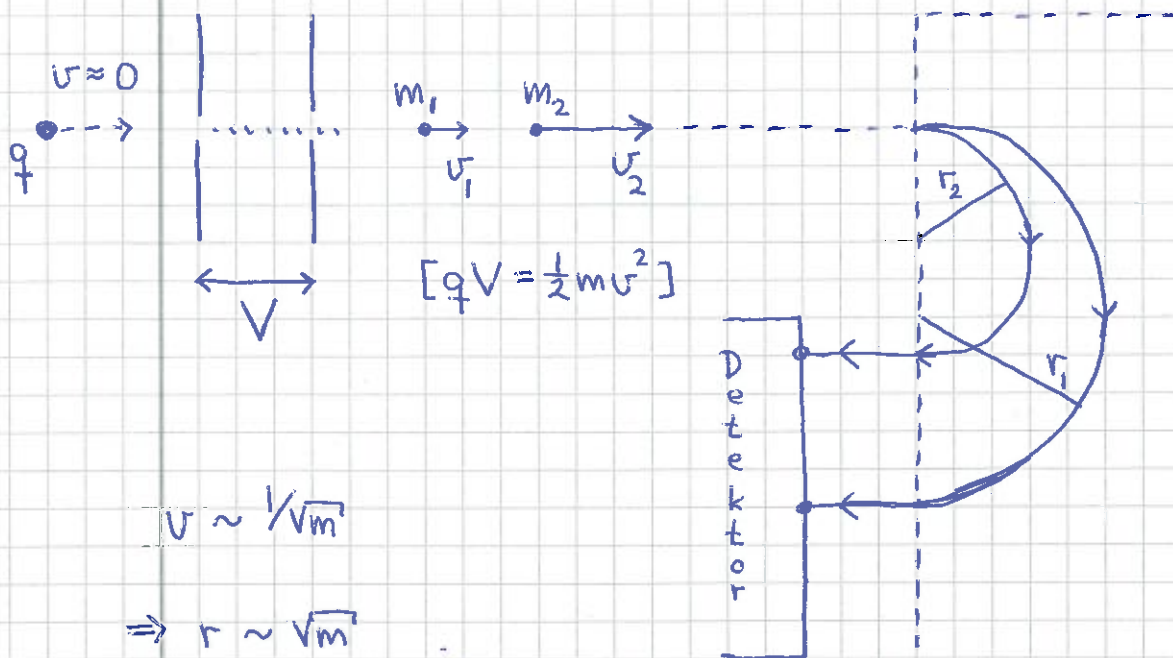
\Rightarrow uniform sirkelbevegelse

N2: $qvB = mv^2/r \Rightarrow r = mv/qB$

$\Rightarrow \omega_c = \frac{v}{r} = \frac{qB}{m}$

Syklotronfrekvensen

Eks: Massespektrometer (Øving 12)

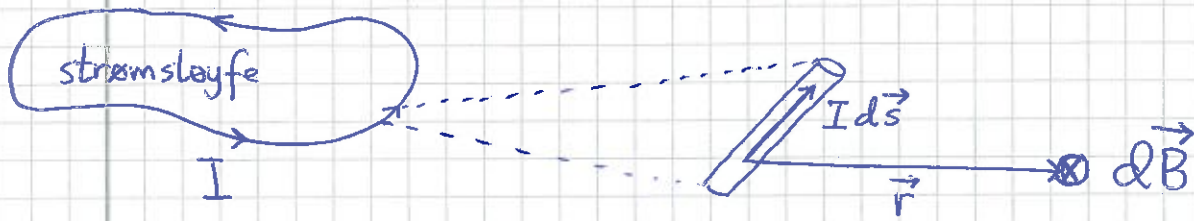


$v \sim \sqrt{Vm}$

$\Rightarrow r \sim \sqrt{m}$

Biot-Savarts lov [YF 28.2 ; LHL 23.5]

100



Magnetfelt $d\vec{B}$ fra lederbit med lengde og retning gitt ved $d\vec{s}$, og strøm I , i avstand gitt ved \vec{r} :

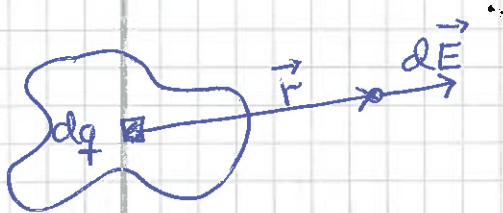
$$d\vec{B} = \frac{\mu_0}{4\pi} \frac{I d\vec{s} \times \hat{r}}{r^2}$$

⇒ Fellet fra hele den lukkede strømsløyfa: ($I = \text{konst.}$)

$$\vec{B} = \oint d\vec{B} = \frac{\mu_0 I}{4\pi} \oint \frac{d\vec{s} \times \hat{r}}{r^2} \quad \text{Biot-Savarts lov (1820)}$$

$$\mu_0 = 4\pi \cdot 10^{-7} \frac{\text{T} \cdot \text{m}}{\text{A}} = \text{vakuumpermeabiliteten (eksakt)}$$

Jf. Coulombs lov:



$$\vec{E} = \int d\vec{E} = \frac{1}{4\pi\epsilon_0} \int \frac{dq \hat{r}}{r^2}$$

$\epsilon_0 = \text{vakuumpermittiviteten}$

$$c = \frac{1}{\sqrt{\epsilon_0 \mu_0}} = \text{hastigheten til elektromagnetiske bølger i vakuum} \\ = 299\,792\,458 \text{ m/s (eksakt)}$$

$$\Rightarrow \epsilon_0 = \frac{1}{\mu_0 c^2} \quad \text{(eksakt)}$$

Tre viktige eksempler, med kvalitativ argumentasjon, (101)
uten matematiske detaljer.

Eks 1: \vec{B} fra lang, rett strømførende leder [YF 28.3; LHL 23.5]

⊙ \vec{B} (ut)

$$d\vec{B} \sim I d\vec{s} \times \vec{r}$$

↓

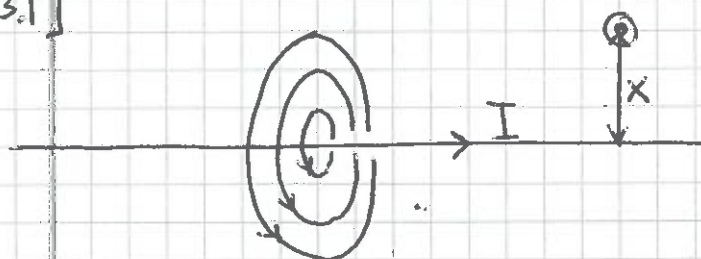
\vec{B} er tangent til sirkel med sentrum på lederen



⊗ \vec{B} (inn)

⇒ Feltlinjer for \vec{B} er sirkler \perp med sentrum på lederen.
↳ [Linjer $\parallel \vec{B}$; Linjetetthet prop. med \vec{B}]

[YF 27.3
LHL 23.1]



Biot-Savart gir

$$B(x) = \frac{\mu_0 I}{2\pi x}$$

[Detaljert utregning av $B(x)$ på hjemmesiden, s 127B]

• Høyrehåndsregel:

Tommel langs I , resten av fingrene krummer
i retningen til \vec{B} .

• Har alltid lukkede feltlinjer for \vec{B} .